

Приведенный модуль позволяет производить операции над исходной матрицей y , заменяя в ней данные безотказности и ремонтопригодности соответствующего элемента матрицы x .

ВЫВОДЫ

1. В основу алгоритма положен принцип формирования новой расчетной матрицы, определяющей состояние подсистемы, путем синтеза основной матрицы и аналитической, где исследователь может задавать прогнозируемые данные, отличные от результатов, полученных экспериментально.

2. Выявленные соотношения позволяют оценить степень важности каждого агрегата в формировании надежности энергоблока. В соответствии с численными данными, приведенными в работе, наибольшее влияние на надежность энергоблока оказывает безотказность котлоагрегата.

ЛИТЕРАТУРА

1. Б а й х е л ь т, Ф. Надежность и техническое обслуживание: математический подход / Ф. Байхельт, П. Франкен; пер. с нем. – М.: Радио и связь, 1988. – 392 с.

2. К а р н и ц к и й, Н. Б. Инженерные методы расчета показателей надежности оборудования ТЭС / Н. Б. Карниций, С. Н. Шичко // Вестник БНТУ. – 2004. – № 4. – С. 56–59.

Представлена кафедрой
тепловых электрических станций

Поступила 7.07.2006

УДК 621.186.2.001.24

ИССЛЕДОВАНИЕ СИСТЕМЫ ТЕПЛОСНАБЖЕНИЯ ЖИЛЫХ ДОМОВ В ЗОНЕ ОХВАТА ЦЕНТРАЛЬНЫМ ТЕПЛОВЫМ ПУНКТОМ

Докт. техн. наук БАЙРАШЕВСКИЙ Б. А., инж. БОРУШКО Н. П.

РУП «БЕЛТЭИ»

Длительный опыт эксплуатации систем теплоснабжения показывает, что вопросы адекватного распределения теплоты по отдельным потребителям требуют дальнейшего изучения. В данном случае имеется в виду разная способность отапливаемых зданий сохранять переданную им теплоту как в стационарных условиях, так и в случае кратковременного отключения теплосети. Сведения о теплопотерях зданий, эксплуатируемых в настоящее время, находятся на уровне проектных и расчетных показателей. Они не всегда отражают реальную действительность. Между тем каждое здание имеет свои теплотехнические характеристики и способно с разной степенью полноты использовать установленные параметры теплоносителя, поступающего от центрального теплового пункта (ЦТП).

На схемах к табл. 1, 2 показана система теплоснабжения однотипной группы отапливаемых зданий от ЦТП. Как видно, температура прямой сетевой воды на выходе из ЦТП для всех домов одинакова ($t_{\text{тцНд}}^{\text{п}} = t_{\text{тц}}^{\text{п}}$; $t_{\text{бцНд}}^{\text{п}} = t_{\text{бц}}^{\text{п}}$), а обратной воды на возврате в ЦТП ($t_{\text{тц}}^{\text{п}}$ и $t_{\text{бц}}^{\text{п}}$) оказывается

среднемассовой по всем зданиям региона ($t_{\text{рнн}}^{\rho}$ и $t_{\text{онн}}^{\rho}$) с учетом теплопотерь в теплопроводах. Изучить закономерности теплопотребления каждого здания и ЦПИ в условиях эксплуатации достаточно сложно. Целесообразно прибегнуть к математическому моделированию процессов теплообмена в исследуемых объектах с целью последующего изучения этих закономерностей с помощью компьютера (рис. 1, 2).

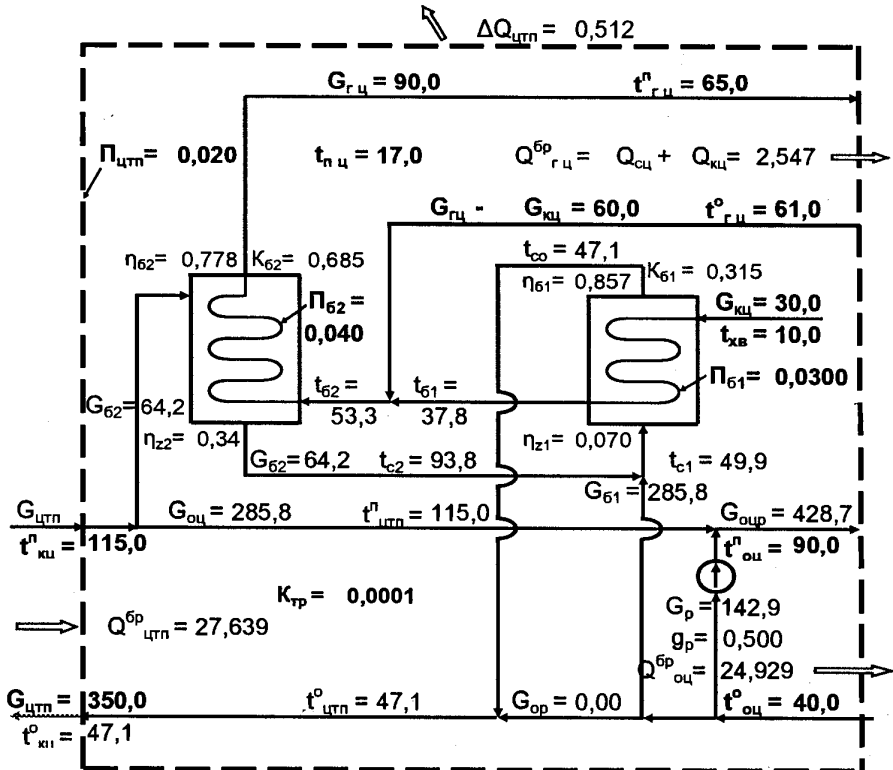


Рис. 1. Расчетная схема ЦПИ по данным в табл. 1. Режим 2. Исходные данные, необходимые для расчетов, выделены жирным шрифтом

Таблица I
Расчетные показатели ЦПИ. Исходные данные выделены жирным шрифтом

Обозн.	$G_{\text{цпп}}$	$G_{\text{он}}$	$G_{\text{опр}}$	$G_{\text{рн}}$	$G_{\text{кн}}$	G_{61}	G_{62}	$g_{\text{п}}$
Реж.1	350	332,3	498,4	90,0	30,0	16,2	17,7	0,5
Реж.2	350	285,8	428,7	90,0	30,0	285,8	64,2	0,5
Разм.	т/ч	т/ч	т/ч	т/ч	т/ч	т/ч	т/ч	—
Обозн.	$G_{\text{п}}$	$G_{\text{оп}}$	$t_{\text{кн}}^{\rho}$	$t_{\text{кн}}^{\rho}$	$\Delta t_{\text{tp}}^{\rho}$	$t_{\text{цпп}}^{\rho}$	$t_{\text{он}}^{\rho}$	$t_{\text{он}}^{\rho}$
Реж. 1	166,1	316,1	115,0	37,1	6E-05	115,0	37,1	90,0
Реж.2	142,9	0,0	115,0	47,1	6E-05	115,0	47,1	90,0
Разм.	т/ч	т/ч	°C	°C	°C	°C	°C	°C
Обозн.	$t_{\text{он}}^{\rho}$	$t_{\text{рн}}^{\rho}$	$t_{\text{рн}}^{\rho}$	$t_{\text{он}}^{\rho}$	$t_{\text{с1}}$	$t_{\text{с2}}$	t_{61}	t_{62}
Реж.1	40,0	65,0	61,0	10,6	50,1	59,2	50,1	57,4
Реж.2	40,0	65,0	61,0	47,1	49,9	93,8	37,8	53,3
Разм.	°C	°C	°C	°C	°C	°C	°C	°C

Окончание табл. 1

Обозн.	$t_{\text{хв}}$	$t_{\text{пп}}$	$t_{\text{нун}}$	$K_{\text{тр}}$	K_{61}	K_{62}	Δt_{61}	Δt_{62}
Реж. 1	10,0	17,0	-5,0	0,0001	0,3152	0,6847	0,28	19,06
Реж. 2	10,0	17,0	-5,0	0,0001	0,3152	0,6847	22,72	45,15
Разм.	°C	°C	°C	-	-	-	°C	°C
Обозн.	η_{z1}	η_{z2}	η_{61}	η_{62}	Z_1	Z_2	$\Delta Q_{\text{тр}}$	ΔQ_{61}
Реж. 1	0,986	0,967	0,897	0,696	0,4549	0,8642	5E-05	0,161
Реж. 2	0,070	0,343	0,857	0,778	0,0532	0,4056	5E-05	0,161
Разм.	-	-	-	-	-	-	МВт	МВт
Обозн.	ΔQ_{62}	$\Delta Q_{\text{пп}}$	Π_{61}	Π_{62}	$\Pi_{\text{пп}}$	$Q_{61}^{\text{бр}}$	$Q_{61}^{\text{нет}}$	$Q_{62}^{\text{бр}}$
Реж. 1	0,350	0,512	0,035	0,047	0,023	1,559	1,398	1,151
Реж. 2	0,350	0,512	0,035	0,047	0,023	1,130	0,969	1,579
Разм.	МВт	МВт	МВт/град			МВт	МВт	МВт
Обозн.	$Q_{62}^{\text{нет}}$	$Q_{\text{пп}}^{\text{бр}}$	$Q_{\text{пп}}^{\text{нет}}$	$Q_{\text{оц}}^{\text{бр}}$	$Q_{\text{оц}}^{\text{бр}}$	$\eta_{\text{зд}}$		
Реж. 1	0,800	31,691	31,179	28,981	2,547	98,385		
Реж. 2	1,229	27,639	27,127	24,929	2,547	98,149		
Разм.	МВт	МВт	МВт	МВт	МВт	%		

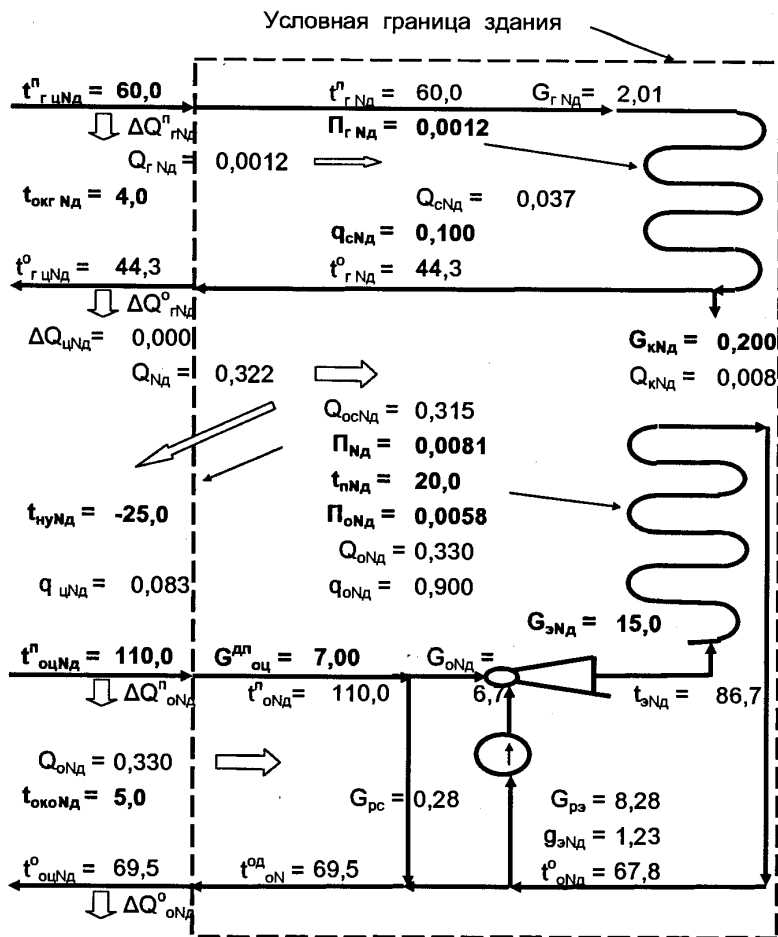


Рис. 2. Расчетная схема теплоснабжения жилого дома по данным табл. 2.
Режим 1. Исходные данные, необходимые для расчетов, выделены жирным шрифтом

Таблица 2

Исходные данные выделены жирным шрифтом

Обозн.	$G_{\text{оц}}^{\Delta}$	$G_{\text{внд}}$	$G_{\text{кнд}}$	$C_{\text{кнд}}$	$q_{\text{снд}}$	$t_{\text{оцнд}}^{\pi}$	$t_{\text{гцнд}}^{\pi}$	$t_{\text{хв}}$
Реж. 1	7,00	15,00	0,200	0,100	0,100	110,0	60,0	10,0
Реж. 2	7,00	15,00	0,200	0,454	0,100	110,0	60,0	10,0
Разм.	т/ч	т/ч	т/ч	—	—	град	град	град
Обозн.	$G_{\text{oнд}}$	$G_{\text{гнад}}$	$G_{\text{пз}}$	G_{pc}	$t_{\text{унд}}$	$t_{\text{hvнд}}$	$t_{\text{оконд}}$	$t_{\text{окгнад}}$
Реж. 1	6,72	2,01	8,28	0,28	20,0	-25,0	5,0	4,0
Реж. 2	2,14	0,44	12,86	4,86	20,0	-2,5	5,0	4,0
Разм.	т/ч	т/ч	т/ч	т/ч	град.	град.	град.	град.
Обозн.	$t_{\text{онд}}^{\pi}$	$t_{\text{енд}}$	$T_{\text{онд}}^{\pi}$	$T_{\text{енд}}^{\circ}$	$T_{\text{рнад}}^{\pi}$	$T_{\text{рнад}}^{\circ}$	$\Pi_{\text{онд}}$	$\Pi_{\text{енд}}$
Реж. 1	110,0	86,7	10^{-6}	10^{-6}	10^{-6}	10^{-6}	10^{-3}	10^{-3}
Реж. 2	110,0	53,3	10^{-6}	10^{-6}	10^{-6}	10^{-6}	10^{-3}	10^{-3}
Разм.	град	град	МВт/град					
Обозн.	$\Pi_{\text{нд}}$	R	$g_{\text{енд}}$	$\rho_{\text{енд}}$	$\rho_{\text{онд}}$	$\rho_{\text{енд}}$	$\rho_{\text{нд}}$	$\rho_{\text{гнад}}$
Реж. 1	$8 \cdot 10^{-3}$	0,552	1,233	69,5	69,5	67,8	60,0	44,3
Реж. 2	$8 \cdot 10^{-3}$	0,857	5,994	89,7	89,7	43,9	59,9	24,0
Разм.	МВт/град	—	—	град	т/ч	град	град	град
Обозн.	$\rho_{\text{нд}}$	$q_{\text{онд}}$	$Q_{\text{нд}}$	$Q_{\text{енд}}$	$Q_{\text{онд}}$	$Q_{\text{енд}}$	$Q_{\text{снд}}$	$Q_{\text{кнд}}$
Реж. 1	44,3	0,900	0,374	0,366	0,330	0,045	0,037	0,008
Реж. 2	24,1	0,900	0,186	0,183	0,165	0,022	0,018	0,003
Разм.	град	—	МВт	МВт	МВт	МВт	МВт	МВт
Обозн.	$\Delta Q_{\text{унд}}$	$Q_{\text{унд}}$	$q_{\text{унд}}$					
Реж. 1	$3 \cdot 10^{-4}$	0,375	0,08					
Реж. 2	$3 \cdot 10^{-4}$	0,187	0,17					
Разм.	МВт	МВт	%					

В качестве теплотехнической характеристики исследуемого объекта [1] предлагается использовать комплекс $\Pi_{\text{об}} = K_{\text{об}} F_{\text{об}}$, где $K_{\text{об}}$ – условный коэффициент теплопередачи через некоторую виртуальную поверхность $F_{\text{об}}$ исследуемого объекта. В теплофизическом смысле показатель $\Pi_{\text{об}}$ представляет собой поток теплоты через поверхность объекта при перепаде температур в один градус. Для каждого здания предлагается установить семь таких комплексов. Два из них – для отопительных приборов $\Pi_{\text{рнад}}$ (например, сушил по линии горячего водоснабжения здания) и для приборов по отоплению зданий сетевой водой $\Pi_{\text{онд}}$ (например, радиаторов). Третий комплекс $\Pi_{\text{нд}}$ характеризует теплопотери здания в целом. Четыре остальных комплекса (обозначим их символом T) характеризуют уровень теплопотерь в прямых и обратных трубопроводах от ЦТП к дому: по горячему водоснабжению ($T_{\text{рнад}}^{\pi}$ и $T_{\text{енад}}^{\circ}$) и отоплению ($T_{\text{онд}}^{\pi}$ и $T_{\text{енд}}^{\circ}$) исследуемого здания. Аналогичные комплексы (показатели) вводятся в качестве теплотехнических характеристик ЦТП: $\Pi_{\text{б1}}$ и $\Pi_{\text{б2}}$ для бойлеров 1-й и 2-й ступеней, а также для помещения ЦТП в целом $\Pi_{\text{цтп}}$. В рассматриваемой модели исследуемого комплекса теплопотери через ограждающие поверхности ЦТП ($\Delta Q_{\text{цтп}}$) складываются из трех составляющих: теплопотерь $\Delta Q_{\text{б1}}$, $\Delta Q_{\text{б2}}$ – через ограждающие поверхности обоих теплообменников и теплопотерь $\Delta Q_{\text{тр}}$ – через изоляцию теплопроводов прямой и обратной сетевой воды на территории ЦТП, т. е. $\Delta Q_{\text{цтп}} = \Delta Q_{\text{б1}} + \Delta Q_{\text{б2}} + \Delta Q_{\text{тр}}$. Применительно к домам аналогично считаем, что теплопотери через ограждающие поверхности

зданий определяются двумя составляющими: затратой теплоты на отопительные приборы горячего водоснабжения $Q_{\text{сНд}}$ (т. е. сушила без учета потерь теплоты $Q_{\text{кНд}}$ со сливной водой с массой $G_{\text{кНд}}$) и затратой теплоты $Q_{\text{oНд}}$ на отопление сетевой водой (т. е. суммарное тепловыделение в доме $Q_{\text{oНд}} = Q_{\text{Нд}} + Q_{\text{сНд}}$). Соответственно в долевом отношении это составит $q_{\text{сНд}} = Q_{\text{сНд}} / Q_{\text{oНд}}$ и $q_{\text{oНд}} = Q_{\text{oНд}} / Q_{\text{oНд}}$, т. е. $q_{\text{сНд}} + q_{\text{oНд}} = 1$.

Значения упомянутых комплексов (в общем случае Π_i и T_i) положены в основу разработки математической модели системы теплоснабжения. Это позволит использовать имеющийся потенциал (возможности) теплоносителя на входе и выходе из ЦТП, а также теплоисточника в целом. В дальнейшем такая модель системы теплоснабжения позволит разрабатывать соответствующие нормативные документы, необходимые для планирования тепловых ресурсов и выполнения соответствующих прогнозов.

Очевидно, что при такой постановке вопроса требуется разработка программ по двум направлениям расчетов: первого – по исследованию и определению упомянутых комплексов Π_i и T_i , второго – по исследованию и оптимизации режимов теплоснабжения на основе выявленных комплексов Π_i и T_i . На данном этапе решения поставленной задачи полагаем, что в известных диапазонах температур наружного воздуха комплексы Π_i и T_i постоянны.

Массовые и температурные показатели системы теплоснабжения (ЦТП и домов) определяются на основании известных уравнений теплового и материального балансов как в первой, так и во второй программах. Поэтому нет необходимости подробно останавливаться на их описании. По первой программе упомянутые комплексы Π_i и T_i вычисляются на основании соответствующих измерений в ЦТП и домах. По второй программе массовые и температурные показатели исследуемого объекта находятся на основании установленных комплексов Π_i и T_i . Обработка соответствующих материалов по обеим программам выполняется на компьютере.

Ниже изложим только те взаимосвязи, которые дополнительно к упомянутым уравнениям теплового и материального балансов отражают установленную модель процессов теплообмена в исследуемом объекте (рис. 1):

$$\eta_{Z1} = (t_{c1} - t_{co})(t_{c1} - t_{xb})^{-1} = Z_1 - R_{Z1} \left[1 - (G_{61} + G_{62})G_{ku}^{-1}E_1 \right]^{-1}; \quad (1)$$

$$\eta_{Z2} = (t_{ctp}^n - t_{c2})(t_{ctp}^n - t_{62})^{-1} = Z_2 - R_{Z2} \left[1 - G_{62}G_{ru}^{-1}E_2 \right]^{-1}, \quad (2)$$

где в соответствии с [2] η_{Z1} и η_{Z2} – коэффициенты использования максимальных температурных напоров в подогревателях с противоточным движением теплоносителей; $Z_1, Z_2, R_{Z1}, R_{Z2}, E_1, E_2$ – вспомогательные функции,

$$Z_1 = (1 - E_1) \left[1 - (G_{61} + G_{62})G_{ku}^{-1}E_1 \right]^{-1};$$

$$Z_2 = (1 - E_2) \left[1 - G_{62}G_{ru}^{-1}E_2 \right]^{-1};$$

$$R_{Z1} = \Delta Q_{61} \left\{ \left[(CG_{k4})^{-1} + \Pi_{61}^{-1} \right] E_1 - \Pi_{61}^{-1} \right\} (t_{cl} - t_{x_B})^{-1};$$

$$R_{Z2} = \Delta Q_{62} \left\{ \left[(CG_{r4})^{-1} + \Pi_{62}^{-1} \right] E_2 - \Pi_{62}^{-1} \right\} (t_{ctn} - t_{62})^{-1};$$

$$E_1 = \exp \left\{ -C^{-1} \left[(G_{61} + G_{62})^{-1} - G_{k4}^{-1} \right] \Pi_{61} \right\};$$

$$E_2 = \exp \left\{ -C^{-1} \left(G_{62}^{-1} - G_{r4}^{-1} \right) \Pi_{62} \right\};$$

$$\Delta Q_{61} = C \left[(G_{61} + G_{62})(t_{cl} - t_{co}) - G_{k4}(t_{61} - t_{x_B}) \right];$$

$$\Delta Q_{62} = C \left[G_{62}(t_{ctn} - t_{c2}) - G_{r4}(t_{r4} - t_{62}) \right].$$

В целом по ЦТП

$$\Pi_{ctn} = \Delta Q_{ctn} (t_{pc} - t_{hyd})^{-1}. \quad (3)$$

На основании уравнений баланса потери в ЦТП представляют собой разность между потоками теплоты на входе и выходе:

$$\Delta Q_{ctn} = Q_{ctn}^{bx} - Q_{ctn}^{bx}, \quad (4)$$

$$Q_{ctn}^{bx} = CG_{ctn}(t_{k4}^n - t_{k4}^\rho); \quad (5)$$

$$Q_{ctn}^{bx} = C \left[G_{o4p}(t_{o4}^n - t_{o4}^\rho) + G_{r4}(t_{r4}^n - t_{r4}^\rho) + G_{k4}(t_{k4}^\rho - t_{x_B}) \right]. \quad (6)$$

Определим потери теплоты через изоляцию теплопроводов на территории ЦТП

$$\Delta Q_{tp} = \Delta Q_{ctn} - \Delta Q_{62} - \Delta Q_{61}.$$

Применительно к домам значения Π_{rN_d} и Π_{oN_d} являются соответствующими аргументами в уравнениях теплового баланса и теплопередачи:

$$Q_{cN_d} = CG_{rN_d}(t_{rN_d}^n - t_{rN_d}^\rho) = \Pi_{rN_d} \Delta \tau_{rN_d}; \quad (7)$$

$$Q_{oN_d} = CG_{o4p}(t_{oN_d}^n - t_{oN_d}^\rho) = CG_{oN_d}(t_{oN_d}^n - t_{oN_d}^\rho) = CG_{eN_d}(t_{eN_d}^n - t_{eN_d}^\rho) = \Pi_{oN_d} \Delta \tau_{oN_d}, \quad (8)$$

где логарифмические температурные напоры между окружающим воздухом в помещении и рабочими потоками воды в нагревательных приборах горячего водоснабжения и отопления равны:

$$\Delta \tau_{rN_d} = (\Delta t_{rN_d}^\delta - \Delta t_{rN_d}^M) \ln^{-1} \left(\frac{\Delta t_{rN_d}^\delta}{\Delta t_{rN_d}^M} \right); \quad (9)$$

$$\Delta\tau_{oN_d} = (\Delta t_{rN_d}^{\delta} - \Delta t_{oN_d}^M) \ln^{-1} \left(\frac{\Delta t_{oN_d}^{\delta}}{\Delta t_{oN_d}^M} \right). \quad (10)$$

Имея в виду, что (схема к табл. 2): $\Delta t_{rN_d}^{\delta} = t_{rN_d}^n - t_{rN_d}$; $\Delta t_{rN_d}^M = t_{rN_d}^o - t_{rN_d}$ и $\Delta t_{oN_d}^{\delta} = t_{oN_d}^n - t_{oN_d}$; $\Delta t_{oN_d}^M = t_{oN_d}^o - t_{oN_d}$, на основании (7)–(10) определяем:

$$\Pi_{rN_d} = CG_{rN_d} \ln \left[\left(t_{rN_d}^n - t_{rN_d} \right) \left(t_{rN_d}^o - t_{rN_d} \right)^{-1} \right]; \quad (11)$$

$$\Pi_{oN_d} = CG_{oN_d} \ln \left[\left(t_{oN_d}^n - t_{oN_d} \right) \left(t_{oN_d}^o - t_{oN_d} \right)^{-1} \right]. \quad (12)$$

В целом по отапливаемому зданию имеем

$$\Pi_{N_d} = (Q_{oN_d} + Q_{rN_d}) (t_{rN_d} - t_{hyN_d})^{-1}. \quad (13)$$

Процесс, характеризующий теплопотери на горячеводных и отопительных участках от ЦТП до дома, определим на основании уравнений тепло передачи.

Для прямых и обратных трубопроводов горячего водоснабжения и отопления имеем:

$$CG_{rN_d} \left(t_{rN_d}^n - t_{rN_d}^o \right) = T_{rN_d}^n \Delta\tau_{rN_d}^n; \quad (14)$$

$$C(G_{rN_d} - G_{kN_d}) \left(t_{rN_d}^o - t_{rN_d}^n \right) = T_{rN_d}^o \Delta\tau_{rN_d}^o; \quad (15)$$

$$CG_{oN_d} \left(t_{oN_d}^n - t_{oN_d}^o \right) = T_{oN_d}^n \Delta\tau_{oN_d}^n; \quad (16)$$

$$CG_{oN_d} \left(t_{oN_d}^o - t_{oN_d}^n \right) = T_{oN_d}^o \Delta\tau_{oN_d}^o, \quad (17)$$

где на выходе из ЦТП: $t_{rN_d}^o \neq t_{rN_d}^n$ и $t_{oN_d}^o \neq t_{oN_d}^n$.

Температурные напоры между теплоносителями и окружающей средой определим:

$$\Delta\tau_{rN_d}^n = 0,5 \left(t_{rN_d}^n + t_{rN_d}^o \right) - t_{ok}; \quad (18)$$

$$\Delta\tau_{rN_d}^o = 0,5 \left(t_{rN_d}^o + t_{rN_d}^n \right) - t_{ok}; \quad (19)$$

$$\Delta\tau_{oN_d}^n = 0,5 \left(t_{oN_d}^n + t_{oN_d}^o \right) - t_{ok}; \quad (20)$$

$$\Delta\tau_{oN_d}^o = 0,5 \left(t_{oN_d}^o + t_{oN_d}^n \right) - t_{ok}. \quad (21)$$

В процессе изучения теплотехнических характеристик домов и ЦТП по первой программе значения комплексов Π_{61} , Π_{62} , Π_{rN_d} , Π_{oN_d} , $T_{rN_d}^n$, $T_{rN_d}^o$, $T_{oN_d}^n$, $T_{oN_d}^o$ определяем на основании решения системы трансцендентных уравнений (1), (2), (11), (12), (14)–(21). Комплекс Π_{N_d} вычисляем на осно-

вании (11). Комплекс $\Pi_{\text{цпп}}$ находим по (3). Величину теплопотерь $\Delta Q_{\text{цпп}}$ рассчитываем на основании (4). При заданных температурах $t_{\text{кц}}^{\Gamma}$ и $t_{\text{кц}}^{\rho}$ на входе в здание ЦТП уравнение теплового баланса (4) относительно $\Delta Q_{\text{цпп}}$ остается линейным. В случае вычисления величины $\Delta Q_{\text{цпп}}$ на основании заданных температур $t_{\text{цпп}}^{\Gamma}$ и $t_{\text{цпп}}^{\rho}$ учитываем степень охлаждения воды в пределах ЦТП таким образом: $t_{\text{цпп}}^{\Gamma} = t_{\text{кц}}^{\Gamma} - \Delta t_{\text{tp}}$ и $t_{\text{цпп}}^{\rho} = t_{\text{кц}}^{\rho} + \Delta t_{\text{tp}}$. Здесь, руководствуясь сугубо формальным соблюдением принципа принятой модели исследуемого комплекса, с достаточной точностью определяем:

$$\Delta t_{\text{tp}} = 0,5\Delta Q_{\text{цпп}} K_{\text{tp}} C^{-1} G_{\text{цпп}}^{-1}. \text{ Коэффициент } K_{\text{tp}} = \frac{\Delta Q_{\text{tp}}}{\Delta Q_{\text{цпп}}} \text{ – доля теплоты, теряющейся теплообменниками сетевой воды в пределах ЦТП. Соответственно для обоих теплообменников: } K_{61} = \frac{\Delta Q_{61}}{\Delta Q_{\text{цпп}}} \text{ и } K_{62} = \frac{\Delta Q_{62}}{\Delta Q_{\text{цпп}}}.$$

При этом $K_{\text{tp}} + K_{61} + K_{62} = 1$. В результате введения в уравнение (4) зависимостей $t_{\text{кц}}^{\Gamma} = t_{\text{цпп}}^{\Gamma} + \Delta t_{\text{tp}}$ и $t_{\text{кц}}^{\rho} = t_{\text{цпп}}^{\rho} + \Delta t_{\text{tp}}$ линейное изменение $\Delta Q_{\text{цпп}}$ принимает вид квадратного уравнения типа $A\Delta Q_{\text{цпп}}^2 + B\Delta Q_{\text{цпп}} + C = 0$ и решается общеизвестными методами.

Численные исследования на компьютере свидетельствуют о большом разнообразии режимов работы системы теплоснабжения. Сопоставим показатели работы ЦТП (табл. 1), в частности в режимах 1 и 2. В обоих режимах теплоснабжение каждого дома от ЦТП, с точки зрения качества (температур) и количества (расходов воды) теплоносителя, одинаково. Различие заключается в том, что в режиме 1 суммарный расход воды на отопление зданий $G_{\text{опр}} = 498,4$ т/ч, а в режиме 2 $G_{\text{опр}} = 428,7$ т/ч, т. е. несколько меньше. Это вызвано тем, что в режиме 2 поток $G_{\text{op}} = 0$, т. е. перекрыт, в то время как в режиме 1 он составляет $G_{\text{op}} = 316,1$ т/ч. В конечном итоге это оказывается на соответствующих изменениях отборных потоков обратной G_{61} и прямой G_{62} сетевой воды на бойлеры. Вследствие этого температура обратной сетевой воды $t_{\text{кц}}^{\rho}$ на возврате в энергоисточник из ЦТП в режиме 1 ниже ($t_{\text{кц}}^{\rho} = 37,1$), чем в режиме 2 ($t_{\text{кц}}^{\rho} = 47,1$) на 10°C . Тепловая нагрузка (теплоспособность) ЦТП в режиме 1 ($Q_{\text{оц}}^{\text{бр}} = 24,919$; $Q_{\text{цпп}}^{\text{бр}} = 27,249$) оказывается больше, чем в режиме 2 ($Q_{\text{оц}}^{\text{бр}} = 21,435$; $Q_{\text{цпп}}^{\text{бр}} = 23,765$) соответственно на $\Delta Q_{\text{оц}}^{\text{бр}} = \Delta Q_{\text{цпп}}^{\text{бр}} = 3,484$ Гкал/ч. Кроме того, в режиме 2 значительно больше нагрузка бойлеров по сетевой воде (в режиме 1: $G_{61} = 16,2$; $G_{62} = 17,7$; в режиме 2: $G_{61} = 285,8$; $G_{62} = 64,2$).

Из сопоставления приведенных расчетов следует, что, с точки зрения оценок теплоспособности и гидравлических сопротивлений, работа ЦТП по режиму 1 по сравнению с режимом 2 имеет свои преимущества.

Аналогично анализ данных, приведенных в табл. 2, по системе теплоснабжения домов представляет практический интерес. Основное различие между режимами 1, 2 – это разные значения температур наружного возду-

ха: в режиме 1 – $t_{\text{hyNд}} = -25,0$ °C, в режиме 2 – $t_{\text{hyNд}} = -2,5$ °C. В обоих режимах циркуляции сетевой воды в наружном контуре теплосети и в пределах дома остаются неизменными. Температуры прямой воды по горячему водоснабжению и отоплению от ЦТП ($t_{\text{tцNд}}^{\Gamma} = t_{\text{tц}}^{\Gamma}$; $t_{\text{oцNд}}^{\Gamma} = t_{\text{oц}}^{\Gamma}$) также остаются неизменными. Температура в помещениях регулируется температурой воды в отопительных приборах на входе: в режиме 1 – $t_{\text{энд}} = 86,7$; в режиме 2 – $t_{\text{энд}} = 53,3$. В результате также изменяется температура обратной воды: в режиме 1 – $t_{\text{онд}} = 67,8$; в режиме 2 – $t_{\text{онд}} = 43,9$. Такой эффект достигается путем организации так называемой каскадной схемы питания (КСП) системы отопления дома [3]: установкой сбросной линии G_{pc} и насоса рециркуляции $G_{\text{pз}}$ обратной воды после отопительных приборов.

ВЫВОДЫ

Приведенные материалы рекомендуются для разработки комплекса программных средств, позволяющих:

- 1) производить обработку опытных данных (полученных путем измерения штатными приборами в ИТП для выявления и изучения соответствующих характеристик отапливаемых зданий и примыкающих к ним теплотрасс);
- 2) осуществлять обработку опытных данных для выявления и изучения соответствующих характеристик оборудования ЦТП;
- 3) при аудиторских проверках давать оценку системы теплоснабжения путем обработки данных измерений на ЦТП и ИТП;
- 4) изыскивать рациональные методы организации и регулирования режимов отопления зданий, разноудаленных от ЦТП и с разными гидравлическими характеристиками;
- 5) разрабатывать температурные графики прямой и обратной воды для каждого объекта теплоснабжения (дома) в отдельности и формировать на этой основе общий (среднеинтегральный) температурный график, который следует выдерживать на ЦТП;
- 6) определять оптимальные параметры теплоносителя, поступающего на ЦТП от энергоисточника (котельной);
- 7) разрабатывать оптимальные режимы работы ЦТП в комплексе с объектами теплоснабжения согласно лимитированному (согласованному) температурному графику прямой сетевой воды в условиях эксплуатации;
- 8) производить расчет режимов теплоснабжения домов с качественным и количественным регулированием тепловых нагрузок, а также при условии постоянных параметров теплоносителя на выходе из энергоисточника до входа в ИТП;
- 9) изучать режимы работы ЦТП при разных загрузках подмешивающего насоса;
- 10) изучать режимы работы ЦТП при разных распределениях расходов сетевой воды между 1-й и 2-й ступенями подогревателя;
- 11) изучать влияние величины горячего водоразбора на температурный и гидравлический режимы работы ЦТП в целом;

- 12) изучать влияние теплотехнических характеристик отопительных приборов в ЦТП, состояние теплоизоляции труб и здания в целом на величину теплопотерь в ЦТП;
- 13) выявлять оптимальные режимы работы ЦТП, направленные на снижение температуры и расхода теплоносителя от источника;
- 14) выполнять ряд расчетов познавательного характера.

ЛИТЕРАТУРА

1. Байрашевский, Б. А. Оценка теплопотерь и эффективности работы теплосетей / Б. А. Байрашевский // Вес. Нац. акад. наук Беларусь. Сер. ФТН. – 2004. – № 4.
2. Байрашевский, Б. А. Влияние теплопотерь в окружающую среду на температурный режим работы теплообменников // Б. А. Байрашевский, Н. П. Борушко // Вес. Нац. акад. наук Беларусь. Сер. ФТН. – 2000. – № 2.
3. Байрашевский, Б. А. Стабилизация теплового и гидравлического режимов работы теплосетей / Б. А. Байрашевский // Вес. Нац. акад. наук Беларусь. Сер. ФТН. – 2005. – № 4.

Поступила 14.02.2006

УДК 621.4:536.46

К ВОПРОСУ О РАСЧЕТЕ СКОРОСТИ ГОРЕНИЯ АЛЬТЕРНАТИВНЫХ МОТОРНЫХ ТОПЛИВ

Канд. техн. наук АССАД М. С.

Барановичский государственный университет

Использование альтернативных моторных топлив в двигателях внутреннего сгорания требует всестороннего изучения их влияния на процесс сгорания, который характеризуется главным образом изменением скоростей химической реакции горения и распространения фронта пламени в камере сгорания в зависимости от режима работы двигателя. Для исследования физической картины распространения пламени при горении альтернативных моторных топлив была использована экспериментальная установка, представляющая собой закрытый сосуд в виде прозрачной камеры сгорания цилиндрической формы, постоянного объема, внутренним диаметром 80 мм и высотой 32 мм (рис. 1). Воспламенение топливовоздушной смеси производилось свечой зажигания, установленной в цилиндрической стенке модельной камеры.

Важнейшей характеристикой процесса горения топливовоздушных смесей является скорость распространения пламени. При ламинарном горении в модельной камере сгорания имеют место два вида скоростей: нормальная и линейная скорости, которые можно охарактеризовать следующим образом. Нормальной, или фундаментальной, скоростью пламени v_n